

第7会場(性質・加工)

66.9.14. 018:1546. 0246261. 546. 824/711

(160) 鋼中に生成するチタン炭化物、窒化物ならびに炭窒化物について

京都大学工学部 No. 64-222

工博 盛 利貞・○時実 正治

山陽特殊製鋼 烏谷 徹

Titanium-Carbide, -Nitride and -Carbo Nitride in Steel. PP2004~2006

Dr. Tosisada MORI, Masaharu TOKIZANE and Toru KARASUDANI.

I. 緒 言

Tiは鋼中において安定な炭化物ならびに窒化物を形成する元素であり、それらの炭化物や窒化物の形態や挙動あるいは鋼の諸性質におよぼす影響について多くの研究が報告されている。著者の一人はさきに平衡状態図を用いた計算¹⁾により鋼中におけるTiCならびにTiNの平衡濃度積の算定を行なつたが、その後他の研究者^{2)~5)}によつて実験的にも検討され、鋼中におけるこれらの化合物の熱力学的性質もほぼ明らかにされている。しかしながら鋼中においてTiCとTiNは必ずしも単独では存在せず一般に相互に固溶して、いわゆる炭窒化物を形成し、それらの存在状態は鋼の組成や熱処理条件によつて異なるものと考えられるので、本研究においてはFe-Ti-C, Fe-Ti-N系合金において析出するTiC, TiNについて2, 3の検討を加えるとともにさらにFe-Ti-C-N系合金中に生成するTi炭窒化物の挙動について検討した。

II. 試 料

純鉄、金属チタン、黒鉛、窒素ガスを用い真空溶解铸造法によつてTable 1に示すごとき組成のFe-Ti-C, Fe-Ti-NならびにFe-Ti-C-N系試料5kg鋼塊を溶製し、約14mmφに鍛造して使用した。なおTiN系の試料AはFe-Ti-N系の試料Nの溶製にあたり溶解時に浴表面に浮上した生成物を採取し、6N-HClで処理した残渣であり、またTiN系の試料Bはスポンジチタンをアンモニアで窒化し1000°Cで合成した窒化物である。

III. 実験方法ならびに実験結果

各鋼塊底部より採取した铸造状態の試片について光学顕微鏡による観察を行なうとFe-Ti-C系の試料Cでは一次晶粒界に共晶状に灰白色の大型TiCが多量に析出

しているのが認められた。Fe-Ti-C-N系の試料CNではこのような共晶状の析出相は見られないが、同じくTiCと考えられる灰白色の析出物(主としてオーステナイト粒界に)とTiNないしはTiNに近いTi(CN)と考えられる黄色角型の析出物が各所に散在しているのが認められた。また、Fe-Ti-N系の試料Nにおいては同様の黄色角型のTiNのみが認められた。

さらにカーボン抽出レプリカ法によつて電子顕微鏡観察を行なつた結果、試料CおよびCNではこれらの析出相の他にTiCあるいはTi(CN)と考えられる微細な雲状の析出物が認められた。

鍛造材ならびに鍛造後熱処理を行なつた試片について10%HCl+5%クエン酸ソーダ水溶液による電解抽出を行ない、抽出残渣のX線回折結果から析出各相の格子定数を計算した。鍛造材の熱処理時間は、試料が十分平衡に達するように設定するために、試料Cの鍛造材について1100°Cで1~25時間の各時間加熱後水冷した試片中の6N-HCl不溶性Ti量を定量するとFig. 1に示すごとき結果を得たので、これより判断して各温度についてTable 2に示すごとく選定した。試料番号にuを付したものは鍛造材について直接平衡熱処理を行なつたものであり、dを付したものはあらかじめ表中の条件による溶体化処理を行なつた後同様の平衡熱処理を行なつ

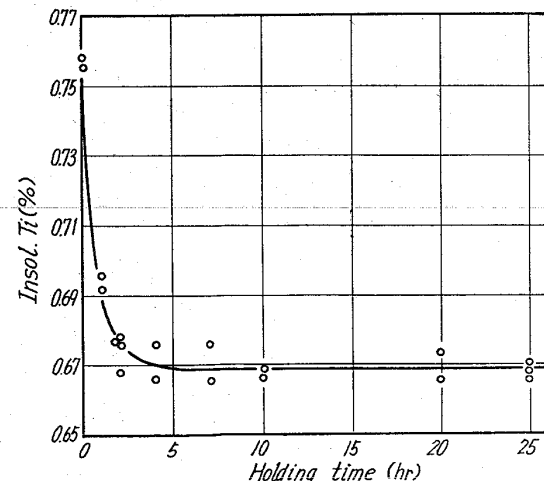


Fig. 1. Relation between holding time and insoluble titanium at 1100°C in sample C. (As forged specimens)

Table 1. Chemical composition of samples. (%)

System	Symbol	Ti	C	N	O*	H*	S
Fe-Ti-C	C	0.76	0.201	0.0015	0.0035	0.00017	0.006
Fe-Ti-C-N	CN	0.35	0.105	0.035	0.0038	0.00011	0.007
Fe-Ti-N	N	0.04	0.020	0.027	0.0029	0.00010	0.012
TiN	A	77.2	—	24.00	—	—	—
	B	81.4	—	18.61	—	—	—

* Vacuum fusion method.

Table 2. Heat treatment of forged specimens.

Specimen No.	Heat treatment	
	Solution treatment	Holding temp. and time
35 u	—	1350°C × 10hr, W.Q.
35 d	1420°C × 2hr, W.Q.	"
20 u	—	1200°C × 15hr, W.Q.
20 d	1300°C × 3hr, W.Q.	"
10 u	—	1100°C × 20hr, W.Q.
10 d	1200°C × 4hr, W.Q.	"
00 u	—	1000°C × 25hr, W.Q.
00 d	1200°C × 4hr, W.Q.	"

たものである。

電解抽出残渣のX線回折結果から算出した析出相の格子定数はFig. 2に示すとくであり、Fe-Ti-C系試料ではほとんど純粋なTiCのみが存在し1350°Cの高温においても未溶解のTiCが多量に存在することがわかつた。またFe-Ti-N系試料では鍛造状態で試料Bの回折結果と全く一致しており、これはほとんど純粋なTi窒化物と考えられるがいづれも回折線ピーカは多峰型で巾広く、格子定数範囲はTiNよりも小さい側に拡がつてゐる。Fe-Ti-C-N系試料の場合1350°CではTiNに少量のTiCが固溶し、純粋なTiCよりかなり小さな格子定数を持つた第2のTi(CN)相が認められる。さらに1100°Cではこの第2の相はほとんど純粋なTiCになつてゐる。一方前述の第1の相は熱処理温度が低くなるにしたがつてわずかに格子定数は小になり、より純粋なTiNに近くなつてゐるが、オーステナイト温度範囲の熱処理ではあまり変化が認められない。これらの結果からFe-Ti-C-N系試料において溶鋼中あるいは鋼の凝固過程で大部分のTiNが析出し、その後残余の固溶Tiが固溶CおよびNと結合してTiCないしはTiCに近いTi(CN)が析出するものと考えられ、上記の熱処理温度ならびに時間では完全な平衡状態に到達せず、準安定相として前述の2相が共存するのではないかと推論される。

DUWEZ⁶⁾はTiC-TiN2元系において両者は全率固溶体を形成し、C、Nの組成割合によつて格子定数が連続的に変化することを報告している。

Fe-Ti-C系については各熱処理試片について6N-

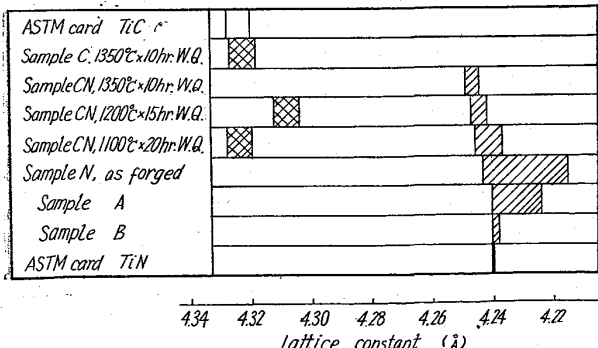


Fig. 2. Calculated lattice constant of cubic phase in the residues of various specimens.

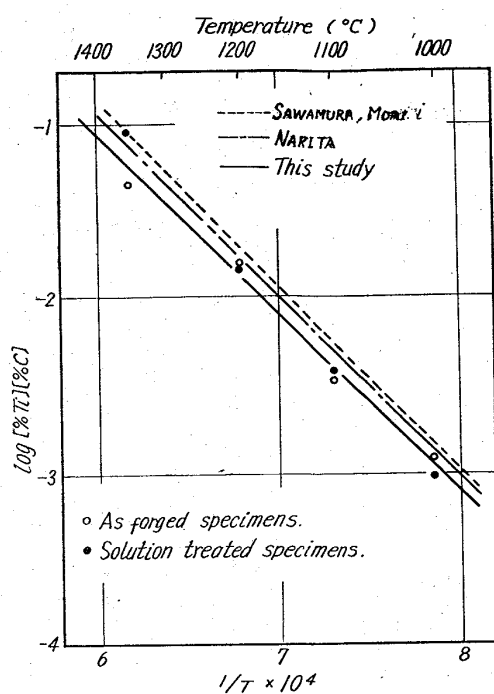


Fig. 3. Relation between solubility product of [%Ti][%C] and temperature in austenite.

HCl不溶性Ti量を分析し、[Ti]、[C]を算出してオーステナイト温度範囲における $TiC = Ti + C$ 反応の平衡濃度積を求めるにFig. 3に示すとくになり、これより

$$\log [\%Ti][\%C] = -\frac{10,300}{T} + 5 \cdot 12$$

を得た。この結果は試料中に含まれるS(=0.006%)がほとんどTiSになつてゐることを考慮すると多少補正を要するが、従来の計算値¹⁾ならびに実験値²⁾とほぼ良好な一致を示している。

IV. 結 言

(1) 鋼中に生成するTiCは灰白色、TiNは黄色角型の析出物であり、いづれも立方晶NaCl型の結晶構造を有するが両者の格子定数はかなり異なる。

(2) TiNはTiCにくらべて熱力学的にかなり安定であり、Fe-Ti-C-N合金ではTiNはほとんど溶鋼中または鋼の凝固過程で析出しオーステナイト中では残余の少量の固溶NがCとともにTiと結合してTiCに近いTi(CN)を形成する。

(3) オーステナイト中におけるTiC生成反応の平衡濃度積を求め、従来の計算値ならびに実験値と比較した結果ほぼ良好な一致を示した。オーステナイト中におけるTiとCとの平衡濃度積の温度関数は次式で与えられる。

$$\log [\%Ti][\%C] = -\frac{10,300}{T} + 5 \cdot 12$$

文 献

- 1) 沢村 宏、盛 利貞: 鉄と鋼, 43 (1957), p. 31~38
- 2) 成田貴一: 日本化学雑誌, 80 (1959),

- p. 266~269
 3) 成田貴一: 日本化学雑誌, 77 (1956), p. 1536~1539
 4) 成田貴一, 森憲二: 鉄と鋼, 46 (1960), p. 1442~1446
 5) 足立彰, 水川清: 大阪大学工学報告, 11 (1961), p. 351~354
 6) D. DUWEZ, F. ODELL: J. Electrochem. Soc., 97 (1950), p. 299~304

1350°Cで20min間保定後水冷し, その後500°C, 600°C, 700°C, 800°C, 900°C, 1000°C, 1100°Cおよび1200°Cで1hrおよび5hr再加熱し水冷.

② 塗化アルミの析出速度調査用

1350°Cで20min間保定後水冷し, その後800°Cで10min, 30min, 1hr, 5hr加熱し水冷.

2. 実験方法ならびに結果

(1) 塗化アルミの抽出分離法の検討

① 電解抽出法とヨウ素アルコール溶解法との比較

Table 1の試料で, 熱処理の異なる若干数の試料から, 電解抽出用試料およびヨウ素アルコール溶解用削り試料を採取し, おののの方法で抽出残渣を採取し, その残渣よりAl, Nの分析をおこない塗化アルミの抽出分離法の検討をおこなつた. なお, その抽出方法はつぎのとおりである. 検討結果はTable 2にしめす通りである.

電解条件

電解槽: Koch-Sundermann式縦型電解槽

電解液: 5%Na-citrate+1.2%KBrでpH 7のもの

電流密度: 5mA/cm²

電解時間: 20hr

ヨウ素アルコール溶解条件

溶解液: 12%ヨウ素アルコール溶液

溶解温度: 60±2°C

溶解時間: 4hr

雰囲気: 気高純度アルゴンガス

Table 2から明らかなようにT1を除いて一般に電解抽出残渣中のN量の方がヨウ素アルコール溶解残渣中のN量と比較して若干低目になつてゐる. 参考までにT2について-250mV vs. 水素電極で定電位で電解した残渣中のN量を調べたところ0.012(%)でやはりヨウ素アルコール溶解法に比較して低値になつてゐた.

② 塗化アルミ抽出分離時のヨウ素アルコール中の微量水分の影響

つぎに本検討のヨウ素アルコール溶解法ではメタノール中に若干水分が含まれている. この微量水分の有無による塗化アルミの抽出分離のされ方の違いを参考までに検討した. その結果をTable 3にしめす.

Table 3から明らかなように両者の間でほとんど差が

Table 1. Chemical composition of samples.

C (%)	Si (%)	Mn (%)	P (%)	S (%)	Ni (%)	Cr (%)	Mo (%)	V (%)	Al (%)	N (%)	Cu (%)
0.18	0.23	0.93	0.011	0.011	—	1.08	0.40	—	0.076	0.016	0.27

Table 2. Comparison between the method of electrolytic isolation and Alcoholic-J₂ method.

Mark	Heat treatment	N as AlN expressed as % of steel (Electrolytic isolation)	N as AlN expressed as % of steel (Alcoholic-J ₂ method)
T 1	700°C×5 hr→W.Q. after 1350°C×20 min→W.Q.	0.013	0.014
T 2	800°C×5 hr→W.Q.	0.014	0.017
T 3	900°C×5 hr→W.Q.	0.009	0.017
T 4	1000°C×1 hr→W.Q.	0.014	0.017
T 5	1000°C×5 hr→W.Q.	0.011	0.017